



Конечно-элементное моделирование ползучести пластин произвольной формы

А.С. Чепурненко, А.В. Сайбель, А.А. Савченко

Донской государственный технический университет, Ростов-на-Дону

Аннотация: В статье приведен вывод уравнений изгиба треугольного конечного элемента пластины с учетом ползучести. При выводе уравнений используется вариационный принцип Лагранжа. Задача сводится к системе линейных алгебраических уравнений. Полученные уравнения позволяют рассчитывать пластинки произвольной формы с учетом вязкоупругих свойств материала. Приведен пример расчета прямоугольной полимерной пластинки из вторичного ПВХ, шарнирно опертой по контуру и нагруженной равномерно распределенной по площади нагрузкой. В качестве закона, устанавливающего связь между деформациями ползучести и напряжениями, используется нелинейное уравнение Максвелла-Гуревича. Представлены графики изменения во времени напряжений и прогиба. Напряжения в процессе ползучести меняются незначительно, разница между напряжениями в начале и в конце процесса ползучести не превышает 6%.

Ключевые слова: ползучесть, метод конечных элементов, изгиб пластин, полимеры, уравнение Максвелла-Гуревича, длительная цилиндрическая жесткость.

Известно, что для многих конструкционных материалов характерно явление ползучести, т.е. развитие во времени деформаций при постоянных нагрузках. В то же время на данный момент отсутствуют общие методы расчета конструкций и их элементов с учетом реологии материала. В литературе приводятся некоторые частные решения для стержневых элементов [1-4], пластин [5] и оболочек [6]. В работе [5] рассматривается методика расчета прямоугольных пластин с учетом ползучести методом конечных разностей, однако данная методика неприменима для пластин произвольной формы.

В настоящей статье приводится вывод уравнений изгиба с учетом ползучести для плоского треугольного конечного элемента, что позволяет рассчитывать пластины произвольной формы.

Рассматриваемый конечный элемент представлен на рис. 1. В каждом из его узлов имеется 3 степени свободы: прогиб w_i и 2 угла поворота φ_{ix} и φ_{iy} . Поле перемещений конечного элемента записывается в виде:

$$\{U\} = \begin{Bmatrix} \{\rho_1\} \\ \{\rho_2\} \\ \{\rho_3\} \end{Bmatrix}, \quad (1)$$

где $\{\rho_i\} = \{w_i \quad \varphi_i^x \quad \varphi_i^y\}^T = \left\{ w_i \quad -\frac{\partial w}{\partial y} \Big|_i \quad -\frac{\partial w}{\partial x} \Big|_i \right\}^T$.

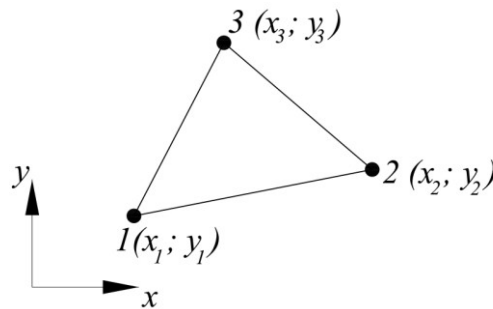


Рис. 1. – Треугольный конечный элемент пластины

Для функции прогиба принимается следующая аппроксимация, которая также используется в работе [7]:

$$w = \beta_1 L_1 + \beta_2 L_2 + \beta_3 L_3 + \beta_4 (L_2^2 L_1 + \frac{1}{2} L_1 L_2 L_3) + \dots + \beta_9 (L_1^2 L_3 + \frac{1}{2} L_1 L_2 L_3), \quad (2)$$

где $\beta_{1...9}$ – неопределенные коэффициенты, L_1, L_2, L_3 – L -координаты, определяемые следующим образом:

$$L_i = \frac{1}{2A} (a_i + b_i x + c_i y), \quad i = 1...3,$$

где $A = \frac{1}{2} \begin{vmatrix} 1 & x_1 & y_1 \\ 1 & x_2 & y_2 \\ 1 & x_3 & y_3 \end{vmatrix}$ – площадь конечного элемента,

$$a_1 = x_2 y_3 - x_3 y_2, \quad b_1 = y_2 - y_3, \quad c_1 = x_3 - x_2.$$

Остальные коэффициенты a_i, b_i, c_i определяются путем циклической замены индексов $1, 2, 3$. Постоянные $\beta_{1...9}$ можно найти, подставив в выражение (2) узловые значения прогибов и углов поворота. При этом возникает необходимость дифференцирования по координатам x и y .



Производные по декартовым координатам вычисляются следующим образом:

$$\begin{aligned} \frac{\partial}{\partial x} &= \frac{\partial L_1}{\partial x} \frac{\partial}{\partial L_1} + \frac{\partial L_2}{\partial x} \frac{\partial}{\partial L_2} + \frac{\partial L_3}{\partial x} \frac{\partial}{\partial L_3} = \frac{1}{2A} \left(b_1 \frac{\partial}{\partial L_1} + b_2 \frac{\partial}{\partial L_2} + b_3 \frac{\partial}{\partial L_3} \right); \\ \frac{\partial}{\partial y} &= \frac{\partial L_1}{\partial y} \frac{\partial}{\partial L_1} + \frac{\partial L_2}{\partial y} \frac{\partial}{\partial L_2} + \frac{\partial L_3}{\partial y} \frac{\partial}{\partial L_3} = \frac{1}{2A} \left(c_1 \frac{\partial}{\partial L_1} + c_2 \frac{\partial}{\partial L_2} + c_3 \frac{\partial}{\partial L_3} \right). \end{aligned} \quad (3)$$

Окончательно функция прогибов записывается в виде:

$$w = \{ \{N_1\} \quad \{N_2\} \quad \{N_3\} \} \{U\}, \quad (4)$$

где $\{N_1\}$, $\{N_2\}$, $\{N_3\}$ – функции формы.

$$\{N_1\}^T = \left\{ \begin{array}{c} L_1 + L_1^2 L_2 + L_1^2 L_3 - L_1 L_2^2 - L_1 L_3^2 \\ b_3 (L_1^2 L_2 + \frac{1}{2} L_1 L_2 L_3) - b_2 (L_3 L_1^2 + \frac{1}{2} L_1 L_2 L_3) \\ c_3 (L_1^2 L_2 + \frac{1}{2} L_1 L_2 L_3) - c_2 (L_3 L_1^2 + \frac{1}{2} L_1 L_2 L_3) \end{array} \right\}. \quad (5)$$

Выражения для $\{N_2\}$ и $\{N_3\}$ также можно получить путем циклической замены индексов.

При выводе уравнений используется вариационный принцип Лагранжа. Потенциальная энергия деформации пластинки определяется следующим образом:

$$II = \frac{1}{2} \int_V \{ \sigma \}^T \{ \varepsilon^{el} \} dV, \quad (6)$$

где $\{ \sigma \}^T = \{ \sigma_x \quad \sigma_y \quad \tau_{xy} \}$ – вектор напряжений, $\{ \varepsilon^{el} \}$ – вектор упругих деформаций, которые представляют разность между полными деформациями и деформациями ползучести:

$$\{ \varepsilon^{el} \} = \{ \varepsilon \} - \{ \varepsilon^* \} = \{ \varepsilon_x \quad \varepsilon_y \quad \gamma_{xy} \}^T - \{ \varepsilon_x^* \quad \varepsilon_y^* \quad \gamma_{xy}^* \}^T. \quad (7)$$

Деформации связаны с напряжениями следующим образом:

$$\{ \sigma \} = [D] (\{ \varepsilon \} - \{ \varepsilon^* \}), \quad (8)$$



где $[D] = \frac{E}{1-\nu^2} \begin{bmatrix} 1 & \nu & 0 \\ \nu & 1 & 0 \\ 0 & 0 & (1-\nu)/2 \end{bmatrix}$ – матрица упругих постоянных.

Вектор полных деформаций определяется следующим образом:

$$\{\varepsilon\} = -z \begin{Bmatrix} \frac{\partial^2 w}{\partial x^2} \\ \frac{\partial^2 w}{\partial y^2} \\ 2 \frac{\partial^2 w}{\partial x \partial y} \end{Bmatrix} = -z \begin{Bmatrix} \frac{\partial^2 \{N\}}{\partial x^2} \\ \frac{\partial^2 \{N\}}{\partial y^2} \\ 2 \frac{\partial^2 \{N\}}{\partial x \partial y} \end{Bmatrix} \{U\} = -z[B]\{U\}. \quad (9)$$

Элементы матрицы $[B]$ являются функциями от x и y . Данная матрица нами была получена в символьном виде в математическом пакете Matlab и здесь не приводится ввиду ее громоздкости.

С учетом (9) векторы напряжений и упругих деформаций записываются в виде:

$$\{\varepsilon^{el}\} = -z[B]\{U\} - \{\varepsilon^*\}; \quad \{\sigma\} = -z[D][B]\{U\} - [D]\{\varepsilon^*\}. \quad (10)$$

Подставив (10) в (6), получим:

$$\begin{aligned} \Pi = & \frac{1}{2} \left(\int_V z^2 \{U\}^T [B]^T [D] [B] \{U\} dV + \int_V \{\varepsilon^*\} [D] z [B] \{U\} dV + \right. \\ & \left. + \int_V z \{U\}^T [B]^T [D] \{\varepsilon^*\} dV + \int_V \{\varepsilon^*\}^T [D] \{\varepsilon^*\} dV \right) = \frac{1}{2} \{U\}^T \frac{h^3}{12} \int_A [B]^T [D] [B] dA \{U\} + \\ & + \{U\}^T \int_A [B]^T [D] dA \cdot \int_{-h/2}^{h/2} \{\varepsilon^*\} z dz. \end{aligned}$$

Если на элемент действует равномерно распределенная нагрузка, то работа внешних сил записывается в виде:

$$A = \int_A q w(x, y) dA = \{U\}^T q \int_A \begin{bmatrix} \{N_1\}^T \\ \{N_2\}^T \\ \{N_3\}^T \end{bmatrix} dA =$$



$$= \{U\}^T \frac{qA}{3} \left\{ 1 \quad \frac{b_3 - b_2}{8} \quad \frac{c_3 - c_2}{8} \quad 1 \quad \frac{b_1 - b_3}{8} \quad \frac{c_1 - c_3}{8} \quad 1 \quad \frac{b_2 - b_1}{8} \quad \frac{c_2 - c_1}{8} \right\}^T.$$

После минимизации полной энергии $\mathcal{E} = \Pi - A$ по узловым перемещениям задача сводится к системе линейных алгебраических уравнений:

$$[K]\{U\} = \{F\} + \{F^*\}, \quad (11)$$

где $[K] = \frac{h^3}{12} \int_A [B]^T [D][B] dA$ – матрица жесткости, $\{F\}$ – вектор внешних

узловых нагрузок, $\{F^*\} = \int_A [B]^T [D] dA \cdot \int_{-h/2}^{h/2} \{\varepsilon^*\} z dz$ – вклад деформаций

ползучести в вектор узловых нагрузок.

Интегралы по площади в выражениях для $[K]$ и $\{F^*\}$ вычисляются численно. В матрицу жесткости и вектор нагрузки входят члены со степенью не выше второй, поэтому интегрирование будет точным при использовании всего лишь трех точек (середин сторон элемента) [7]. Формула интегрирования записывается в виде:

$$\int_A f(x, y) dA = \frac{A}{3} \left(f\left(\frac{x_1 + x_2}{2}, \frac{y_1 + y_2}{2}\right) + f\left(\frac{x_1 + x_3}{2}, \frac{y_1 + y_3}{2}\right) + f\left(\frac{x_2 + x_3}{2}, \frac{y_2 + y_3}{2}\right) \right).$$

Интегралы по толщине пластинки вычисляются методом трапеций.

Был выполнен расчет прямоугольной шарнирно опертой по контуру пластинки, нагруженной равномерно распределенной нагрузкой q (рис. 2).

Материал пластинки – вторичный ПВХ, модуль упругости $E = 1480$ МПа, коэффициент Пуассона $\nu = 0.3$, величина нагрузки $q = 2$ кПа, размеры пластины: $a = 0.8$ м, $b = 0.6$ м, толщина пластинки $h = 2$ см. В качестве закона ползучести использовалось нелинейное уравнение Максвелла-Гуревича, которое при плоском напряженном состоянии записывается в виде:

$$\frac{\partial \varepsilon_{ij}^*}{\partial t} = \frac{f_{ij}^*}{\eta^*}, \quad i = x, y, \quad j = x, y,$$

где f_{ij}^* – функция напряжений, η^* – релаксационная вязкость.

$$f_{ij}^* = \frac{3}{2}(\sigma_{ij} - p\delta_{ij}) - E_\infty \varepsilon_{ij}^*, \quad \text{где } p = \frac{\sigma_x + \sigma_y}{3} \text{ – среднее напряжение, } \delta_{ij} \text{ –}$$

символ Кронекера, E_∞ – модуль высокоэластичности.

$$\frac{1}{\eta^*} = \frac{1}{\eta_0^*} \exp\left(\frac{|f_{\max}^*|}{m^*}\right),$$

где η_0^* – начальная релаксационная вязкость, m^* – модуль скорости.

Для сдвиговой деформации ползучести: $\gamma_{xy}^* = 2\varepsilon_{xy}^*$.

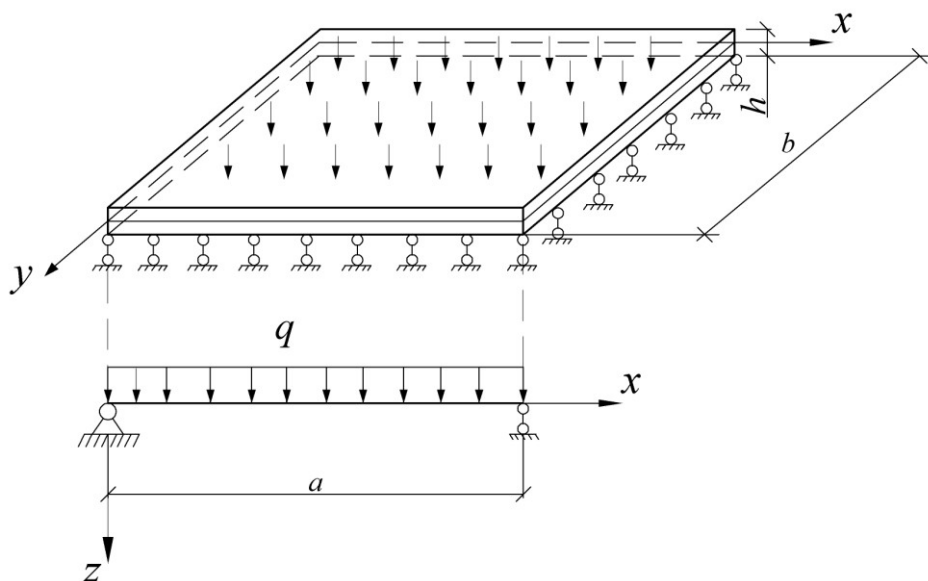


Рис. 2. – Расчетная схема пластинки

Реологические параметры ПВХ при различных температурах приводятся в работах [8-9]. При $t = 20^\circ\text{C}$: $E_\infty = 5990$ МПа, $\eta_0^* = 9.06 \cdot 10^5$ МПа·мин, $m^* = 12.6$ МПа.

Полученный в результате график роста прогиба в центре пластины представлен на рис. 3. Отметим, что для пластин, материал которых

подчиняется уравнению Максвелла-Гуревича, отношение прогибов при $t \rightarrow \infty$ и $t = 0$ должно быть равно:

$$\frac{w(\infty)}{w(0)} = \frac{D}{D_\infty},$$

где $D = \frac{Eh^3}{12(1-\nu^2)}$ – цилиндрическая жесткость пластинки, D_∞ – длительная

цилиндрическая жесткость, впервые введенная в работе [10].

$$D_\infty = \frac{\alpha h^3}{12(\alpha^2 - \beta^2)},$$

где $\alpha = \frac{1}{E} + \frac{1}{E_\infty}$, $\beta = \frac{\nu}{E} + \frac{1}{2E_\infty}$.

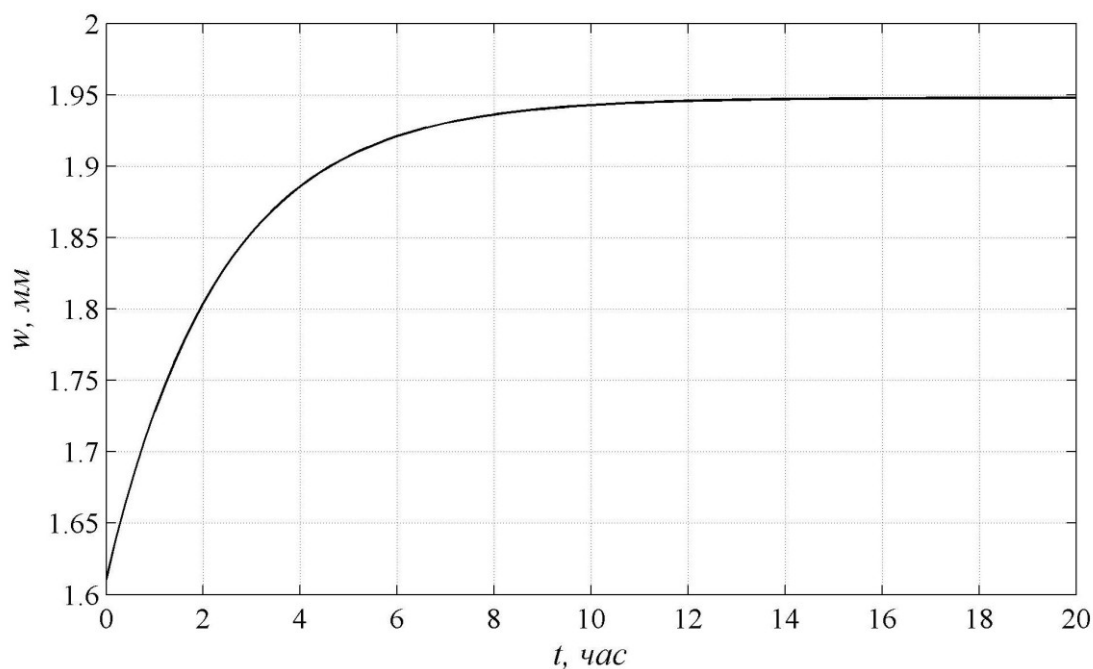


Рис. 3. – График роста прогиба в центре пластины

По результатам численного расчета отношение $w(\infty)/w(0)$ составило 1.2092, что отличается от точного значения на 0.26% и свидетельствует о достоверности полученных уравнений и методики.

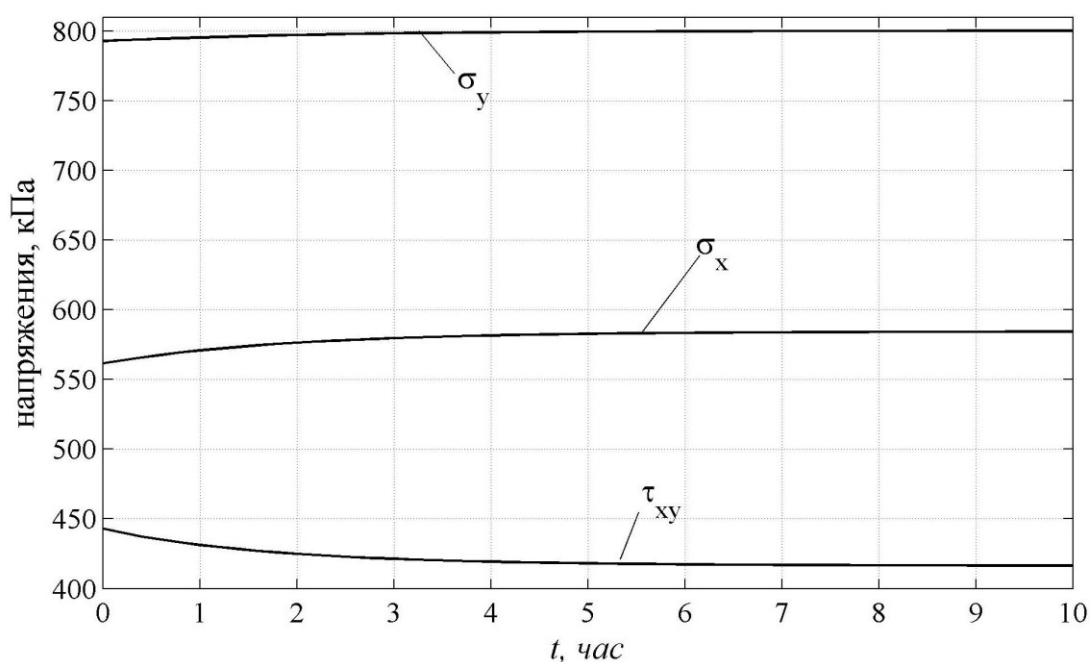


Рис. 4. – Изменение во времени наибольших напряжений

На рис. 4 представлены графики изменения во времени наибольших напряжений. Напряжения σ_y выросли на 0.93%, σ_x – на 4.05 %, наибольшие касательные напряжения снизились на 6%.

Литература

1. Козельская М.Ю., Чепурненко А.С., Литвинов С.В. Применение метода Галёркина при расчете на устойчивость сжатых стержней с учетом ползучести // Инженерный вестник Дона. 2013. №2. URL: ivdon.ru/ru/magazine/archive/n2y2013/1714

2. Andreev V.I., Chepurnenko A.S., Yazyev B.M. Energy method in the calculation stability of compressed polymer rods considering creep // Advanced Materials Research. 2014. Vol. 1004-1005. pp. 257-260.

3. Козельская М.Ю., Чепурненко А.С., Литвинов С.В. Расчет на устойчивость сжатых полимерных стержней с учетом температурных воздействий и высокоэластических деформаций // Научно-технический вестник Поволжья. 2013. № 4. С. 190-194.



4. Чепурненко А.С., Языев Б.М. Оптимизация формы поперечного сечения сжатых стержней из условия устойчивости // Научное обозрение. 2012. № 6. С. 202-204.

5. Andreev V.I., Yazyev B.M., Chepurnenko A.S. On the bending of a thin polymer plate at nonlinear creep // Advanced Materials Research. 2014. Vol. 900. pp. 707-710.

6. Дудник А.Е., Чепурненко А.С., Никора Н.И. Плоская осесимметричная задача термовязкоупругости для полимерного цилиндра // Инженерный вестник Дона. 2015. №1. URL: ivdon.ru/ru/magazine/archive/n1p2y2015/2816

7. Зенкевич О. Метод конечных элементов в технике. М.: Мир, 1975. 538 с.

8. Chepurnenko A.S., Beskopylnyi A.N., Jazyev B.M., Andreev V.I. Determination of rheological parameters of polyvinylchloride at different temperatures // MATEC Web of Conferences. 2016. URL: matec-conferences.org/articles/matecconf/pdf/2016/30/matecconf_smae2016_06059.pdf

9. Дудник А.Е., Чепурненко А.С., Литвинов С.В. Определение реологических параметров поливинилхлорида с учетом изменения температуры // Пластические массы. 2016. № 1-2. С. 30-33.

10. Андреев В.И., Языев Б.М., Чепурненко А.С. Осесимметричный изгиб круглой гибкой пластинки при ползучести // Вестник МГСУ. 2014. № 5. С. 16-24.

References

1. Kozel'skaya M.Yu., Chepurnenko A.S., Litvinov S.V. Inženernyj vestnik Dona (Rus), 2013. №2. URL: ivdon.ru/ru/magazine/archive/n2y2013/1714

2. Andreev V.I., Chepurnenko A.S., Yazyev B.M. Advanced Materials Research. 2014. Vol. 1004-1005. pp. 257-260.

3. Kozel'skaya M.Yu., Chepurnenko A.S., Litvinov S.V. Nauchno-tekhnicheskij vestnik Povolzh'ya. 2013. № 4. pp. 190-194.



4. Chepurnenko A.S., Yazyev B.M. Nauchnoe obozrenie. 2012. № 6. pp. 202-204.
5. Andreev V.I., Yazyev B.M., Chepurnenko A.S. Advanced Materials Research. 2014. Vol. 900. pp. 707-710.
6. Dudnik A.E., Chepurnenko A.S., Nikora N.I. Inzhenernyj vestnik Dona (Rus), 2015. №1. URL: ivdon.ru/ru/magazine/archive/n1p2y2015/2816
7. Zenkevich O. Metod konechnykh elementov v tekhnike [Finite element method in engineering science]. M.: Mir, 1975. 538 p.
8. Chepurnenko A.S., Beskopylnyi A.N., Jazyev B.M., Andreev V.I. MATEC Web of Conferences. 2016. URL: www.matec-conferences.org/articles/mateconf/pdf/2016/30/mateconf_smae2016_06059.pdf
9. Dudnik A.E., Chepurnenko A.S., Litvinov S.V. Plasticheskie massy. 2016. № 1-2. pp. 30-33.
10. Andreev V.I., Yazyev B.M., Chepurnenko A.S. Vestnik MGSU. 2014. № 5. pp. 16-24.